

## Аннотация

В данном курсовом проекте расчитана релейная защита трансформатора.

Произведен выбор мощности трансформаторов на подстанции. Выбраны схемы распределительных устройств. Рассчитаны токи короткого замыкания. Выбраны выключатели, трансформаторы тока и напряжения.

В графической части приведены полная принципиальная электрическая схема подстанции 110/10 кВ а также схема РЗ и А трансформатора.

Изм.	Лист	№ докум.	Подпись	Дат			
Разраб.				а	<p>Проектирование релейной защиты понижсающего трансформатора ТРДН-40000/110/10/10</p>		
Провер.	.						
Н. Контр.							
Утв.							
					Лит.	Лист	Листов
						2	41

## Содержание

Введение	4
1. Исходные данные	6
2. Выбор основного оборудования	7
3. Выбор схем распределительных устройств	11
4. Расчет токов короткого замыкания	13
5. Выбор выключателей, трансформаторов тока и напряжения	21
6. Расчет защиты трансформаторов	27
7. Схема подключения реле ДЗТ-11	39
Заключение	40
Список литературы	41

Изм.	Лис	№ докум.	Подп.	Дат

т

а

Лис

57

## Введение

1.1 В электрической части энергосистем могут возникать повреждения и ненормальные режимы работы электрооборудования электростанций и подстанций, линий электропередачи и электроустановок потребителей электроэнергии.

Релейная защита осуществляет автоматическую ликвидацию повреждений и ненормальных режимов в электрической части энергосистем и является важнейшей автоматикой, обеспечивающей их надежную и устойчивую работу.

Релейная защита осуществляет непрерывный контроль за состоянием всех элементов электростанций энергосистемы и реагирует на возникновение повреждений и ненормальных режимов. При возникновении повреждений релейная защита должна выявить поврежденный участок и отключить его от энергосистемы, воздействуя на соответствующие специальные силовые выключатели, предназначенные для размыкания токов повреждения.

При возникновении ненормальных режимов релейная защита также должна выявлять их и в зависимости от характера нарушения либо отключать оборудование, если возникла опасность его повреждения, либо производить автоматические операции, необходимые для восстановления нормального режима, либо осуществлять сигнализацию оперативному персоналу, который должен принимать меры к ликвидации ненормального режима.

1.2 В современных энергетических системах значение релейной защиты особенно возрастает в связи с бурным ростом мощностей энергосистем, объединением их в единые электрически связанные системы в пределах нескольких областей, всей страны, и даже нескольких государств. Характерным для современных энергосистем является развитие сетей высокого и сверхвысокого напряжения, с помощью которых производится объединение энергетических систем и передача больших потоков

Изм.	Лис	№ докум.	Подп.	Дат

электрической энергии от мощных электростанций к крупным центрам потребления.

В России строятся крупнейшие тепловые, гидравлические и атомные электростанции, увеличивается мощность энергетических блоков. Соответственно растет мощности электрических подстанций, усложняется конфигурация электрических сетей и повышается их нагрузка.

Рост нагрузок, увеличение протяженности линий электропередачи, ужесточение требований к устойчивости энергосистем осложняют условия работы релейной защиты и повышают требования к ее быстродействию, чувствительности и надежности.

В связи с этим идет непрерывный процесс развития и совершенствования техники релейной защиты, направленный на создание все более совершенных защит, отвечающих требованиям современной энергетики.

1.3 Создаются и вводятся в эксплуатацию новые защиты для дальних линий электропередач сверхвысокого напряжения, для крупных генераторов, трансформаторов и энергетических блоков. Совершенствуются способы резервирования отказа защит и выключателей. Все более определенной становится тенденция отказа от электромеханических реле и переход на статические, бесконтактные системы.

Широкое распространение в связи с этим получает применение в устройствах релейной защиты полупроводниковых приборов, микросхем и микропроцессоров. Используются ЭВМ для расчета уставок защиты, поскольку такие расчеты в современных энергосистемах очень трудоемки и занимают много времени.

1.4 В связи с ростом токов короткого замыкания, вызванным увеличением генераторной мощности энергосистем, актуальное значение приобретают вопросы точности трансформации первичных токов, питающих измерительные органы релейной защиты.

В данном проекте произведен расчет и выбор релейной защиты для трансформатора ПС 2.

Изм.	Лис	№ докум.	Подп.	Дат		Лис	57
t	a						

## 1. Исходные данные

В соответствии с заданием выдана структурная схема объекта и необходимые данные для проектирования курсового проекта.

- $\cos\phi=0,87$  - для всех нагрузок;
- $U_{BH}=110 \text{ кВ}$ ;  $U_{CH}=35 \text{ кВ}$ ;  $U_{HH}=10 \text{ кВ}$
- $P_{CH1}=29 \text{ МВт}$ ;  $P_{HH1}=28 \text{ МВт}$ ;  $P_{HH2}=43 \text{ МВт}$ ;  $P_{HH3}=20 \text{ МВт}$ ;  
 $P_{HH4}=14 \text{ МВт}$ ;  $P_{CH5}=22 \text{ МВт}$ ;  $P_{HH5}=17 \text{ МВт}$ ;
- Токи КЗ на шинах ЭС1:  $I_{K3max}=10,7 \text{ кА}$ ;  $I_{K3min}=7,5 \text{ кА}$ ;
- Токи КЗ на шинах ЭС2:  $I_{K3max}=15,1 \text{ кА}$ ;  $I_{K3min}=10,6 \text{ кА}$ ;
- Длины линий:  $L_{W1}=59 \text{ км}$ ;  $L_{W2}=54 \text{ км}$ ;  $L_{W3}=49 \text{ км}$ ;  $L_{W4}=55 \text{ км}$ ;  
 $L_{W5}=31 \text{ км}$ ,  $L_{W5}=41 \text{ км}$ .

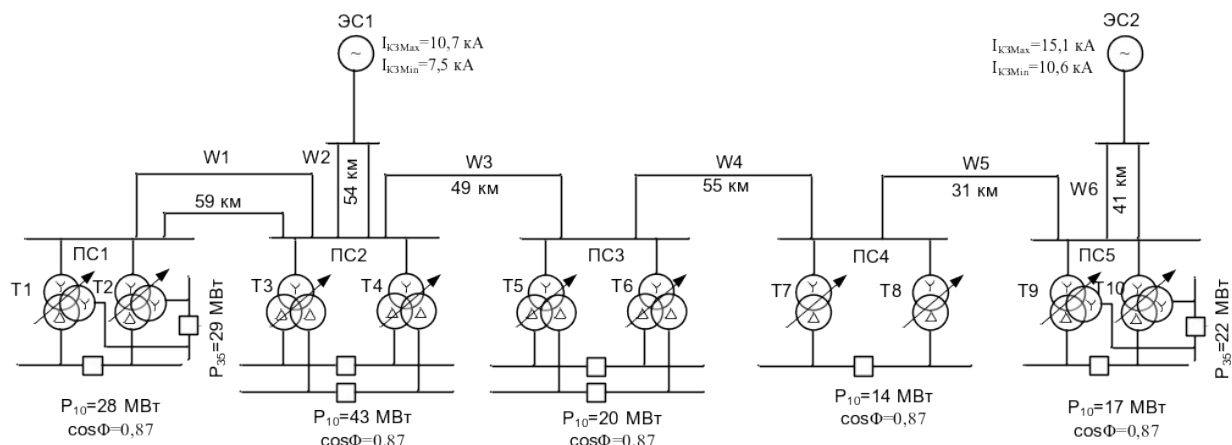


Рисунок 1.1 – Структурная схема

Изм.	Лис	№ докум.	Подп.	Дат

## 2. Выбор основного оборудования

Нормами технологического проектирования [2] рекомендуется устанавливать на ПС два трансформатора связи, чтобы в случае отключения одного из них оставшийся в работе смог частично или полностью обеспечить потребителей электроэнергией. Установка трех и более трансформаторов, как правило, нецелесообразно, так как приводит к существенному увеличению капитальных вложений в схему РУ. Так же НТП [2] рекомендует устанавливать трансформаторы с расщепленной обмоткой низкого напряжения, для ограничения токов короткого замыкания.

Выбираем два параллельно работающих трансформатора. Выбранные трансформаторы должны обеспечивать питание всех потребителей при оптимальной загрузки трансформатора -  $(0,7-0,8) S_{н.т.}$ , а в аварийном режиме один трансформатор, оставшийся в работе, обеспечит питание потребителей с учетом перегрузки на 40%.

Условия выбора трансформаторов связи:

$$U_{н.вн} \geq U_{уст.}$$

$$U_{н.вн} \geq U_{уст.} \quad (2.1)$$

$$U_{н.нн} \geq U_{уст.}$$

$$S_{н.т.} \geq S_{ф.т.} = 0,7 \cdot S_{max}$$

где  $U_{н.вн}$ ,  $U_{н.сн}$ ,  $U_{н.нн}$ , - номинальные напряжения высокой, средней и низкой стороны трансформатора соответственно;

$U_{уст.}$  - установившееся напряжение в цепи;

$S_{н.т.}$  - номинальная мощность трансформатора;

$S_{ф.т.}$  - фактическая мощность трансформатора.

2.1 По указанным условиям определяем параметры выбиравшего трансформаторов Т1 и Т2:

Изм.	Лис	№ докум.	Подп.	Дат		Лис
<i>t</i>	<i>a</i>					57

$$115 \text{ кВ} \geq 110 \text{ кВ}$$

$$38,5 \text{ кВ} \geq 35 \text{ кВ}$$

$$11 \text{ кВ} \geq 10 \text{ кВ}$$

$$S_{\max} = \frac{P_{\max}}{\cos \phi} = \frac{29 + 28}{0,87} = 65,5 \text{ МВА}$$

$$S_{\text{н.т.}} = 0,7 * S_{\max} = 0,7 * 65,5 = 45,9 \text{ МВ·А}$$

Так как предприятием является потребитель I категории то выбираем марку трансформатора ТДТН-63000/110/35/10, при этом

$$63 \text{ МВ·А} \geq 45,9 \text{ МВ·А}$$

Проверим выбранный трансформатор на режим, если один из трансформаторов аварийно отключен

$$\frac{S_{\max}}{S_{\text{н.т.}}} \leq 1,3 - 1,4$$

$$\frac{65,5}{63} = 1,04 < 1,4$$

т. е. в аварийном режиме при отключении одного из трансформаторов второй не будет перегружен свыше 40%.

2.2 По указанным условиям определяем параметры выбиравшего трансформаторов Т3 и Т4:

$$115 \text{ кВ} \geq 110 \text{ кВ}$$

$$10,5 \text{ кВ} \geq 10 \text{ кВ}$$

$$S_{\max} = \frac{P_{\max}}{\cos \phi} = \frac{43}{0,87} = 49,4 \text{ МВА}$$

$$S_{\text{н.т.}} = 0,7 * S_{\max} = 0,7 * 49,4 = 34,6 \text{ МВ·А}$$

Так как предприятием является потребитель I категории то выбираем марку трансформатора ТРДН-40000/110/10/10, при этом

$$40 \text{ МВ·А} \geq 34,6 \text{ МВ·А}$$

Изм.	Лис	№ докум.	Подп.	Дат

Проверим выбранный трансформатор на режим, если один из трансформаторов аварийно отключен

$$\frac{S_{max}}{S_{H.T.}} \leq 1,3 - 1,4$$

$$\frac{49,4}{40} = 1,24 \leq 1,4$$

т. е. в аварийном режиме при отключении одного из трансформаторов второй не будет перегружен свыше 40%.

2.3 По указанным условиям определяем параметры выбираемого трансформаторов Т5 и Т6:

$$115 \text{ кВ} \geq 110 \text{ кВ}$$

$$10,5 \text{ кВ} \geq 10 \text{ кВ}$$

$$S_{max} = \frac{P_{max}}{\cos \phi} = \frac{20}{0,87} = 23MVA$$

$$S_{H.T.} = 0,7 * S_{max} = 0,7 * 23 = 16,1 \text{ MB*A}$$

Выбираем трансформатор типа ТРДН-25000/110/10/10, проверим его:

$$25 \text{ MB*A} \geq 16,1 \text{ MB*A}$$

Проверим выбранный трансформатор на режим, если один из трансформаторов аварийно отключен

$$\frac{S_{max}}{S_{H.T.}} \leq 1,3 - 1,4$$

$$\frac{23}{25} = 0,92 \leq 1,4$$

т. е. в аварийном режиме при отключении одного из трансформаторов второй не будет перегружен свыше 40%.

2.4 По указанным условиям определяем параметры выбираемого трансформаторов Т7 и Т8:

Изм.	Лис	№ докум.	Подп.	Дат

$$115 \text{ кВ} \geq 110 \text{ кВ}$$

$$11 \text{ кВ} \geq 10 \text{ кВ}$$

$$S_{\max} = \frac{P_{\max}}{\cos \phi} = \frac{14}{0,87} = 16,1 \text{ МВА}$$

$$S_{\text{н.т.}} = 0,7 * S_{\max} = 0,7 * 16,1 = 11,3 \text{ МВ·А}$$

Выбираем трансформатор типа ТДН-16000/110/10/10, проверим его:

$$16 \text{ МВ·А} \geq 11,3 \text{ МВ·А}$$

Проверим выбранный трансформатор на режим, если один из трансформаторов аварийно отключен

$$\frac{S_{\max}}{S_{\text{н.т.}}} \leq 1,3 - 1,4$$

$$\frac{16,1}{16} = 1,01 \leq 1,4$$

т. е. в аварийном режиме при отключении одного из трансформаторов второй не будет перегружен свыше 40%.

2.5 По указанным условиям определяем параметры выбиравшего трансформаторов T1 и T2:

$$115 \text{ кВ} \geq 110 \text{ кВ}$$

$$38,5 \text{ кВ} \geq 35 \text{ кВ}$$

$$11 \text{ кВ} \geq 10 \text{ кВ}$$

$$S_{\max} = \frac{P_{\max}}{\cos \phi} = \frac{22+17}{0,87} = 44,8 \text{ МВА}$$

$$S_{\text{н.т.}} = 0,7 * S_{\max} = 0,7 * 44,8 = 31,4 \text{ МВ·А}$$

Так как предприятием является потребитель I категории то выбираем марку трансформатора ТДТН-40000/110/35/10, при этом

$$40 \text{ МВ·А} \geq 31,4 \text{ МВ·А}$$

Изм.	Лис	№ докум.	Подп.	Дат

Проверим выбранный трансформатор на режим, если один из трансформаторов аварийно отключен

$$\frac{S_{max}}{S_{H.T.}} \leq 1,3 - 1,4$$

$$\frac{44,8}{40} = 1,12 < 1,4$$

т. е. в аварийном режиме при отключении одного из трансформаторов второй не будет перегружен свыше 40%.

Т а б л и ц а 2.1 – Технические данные трансформаторов

Тип	$S_{nom}$ , МВА	$U_{H,BH}$ , кВ	$U_{H,CH}$ , кВ	$U_{H,HH}$ , кВ	$\frac{u_k, \%}{\text{BH-CH}} \begin{matrix} \text{BH-HH} \\ \text{CH-HH} \end{matrix}$	$\Delta P_{k.z.}$ , кВт	$\Delta P_{x.x.}$ , кВт	$I_{x.x.}, \%$
ТДТН-63000/110	63	115	38,5	6,6	$\frac{10,5}{17,5}$ $6,5$	280	55	0,6
ТДТН-40000/110	40	115	38,5	11	$\frac{10,5}{17,5}$ $6,5$	200	39	0,6
ТРДН-40000/110	40	115	-	10,5- 10,5	10,5	170	34	0,55
ТРДН-25000/110	25	115	-	10,5- 10,5	10,5	120	25	0,55
ТДН-16000/110	16	115	-	11	10,5	85	17	0,9

Изм.	Лис	№ докум.	Подп.	Дат

Лис

### 3. Выбор схем распределительных устройств

#### 3.1. Выбор схемы распределительного устройства на высоком напряжении 110 кВ

Расчет количества линий на высоком напряжении 110 кВ не проводится, так как заданием уже определено их количество. Согласно задания количество линий и трансформаторов следующее:

На ПС2: 5 линий и два трансформатора.

Распределительное устройство высокого напряжения имеет более пяти присоединений. Согласно стандарту организации ОАО «ФСК ЕЭС», для подстанций с шестью присоединениями на напряжение 110...220 кВ применяется схема с одной рабочей и обходной системами шин.

Выбор данной схемы обуславливается тем, что проектируемый участок сети достаточно ответственный, и соответственно схема распределительных устройств так же должна быть достаточно надежной.

#### 3.2 Выбор схем РУ на напряжение 10 кВ

Число линий на НН 10 кВ определяется по формуле:

$$n_{л,нн} = \frac{\sum P_{\max нн}}{P_{1,л}},$$

где  $P_{1,л}=1,5\dots 5$  МВт – пропускная способность линии.

При расчетах количество полученных линий округляется в большую сторону для удобства расчетов и надежности.

Для ПС2:

$$n_{л,нн,пс2} = \frac{43}{3} = 14,3 \approx 16 \text{ линий};$$

На РУ 10 кВ для ПС 2 применяется схема с двумя секционированными системами сборных шин, со встроенными втычными контактами.

Для РУ 6-35 кВ применяется схема с одной секционированной системой сборных шин. На каждую цепь необходим один выключатель, который служит для включения и отключения цепи в нормальном и аварийном режиме.

Изм.	Лис	№ докум.	Подп.	Дат

Достоинством схемы является простота. Операции с разъединителями необходимы только при выводе присоединения в целях обеспечения безопасного производства работ. Вследствие однотипности простоты операций с разъединителями аварийность из-за неправильных действий с ними дежурного персонала мала, что относится к достоинствам рассматриваемой схемы. Помимо этого авария на сборных шинах приводит к отключению только одного источника и половины потребителей;

Вторая секция и все присоединения к ней остаются в работе.

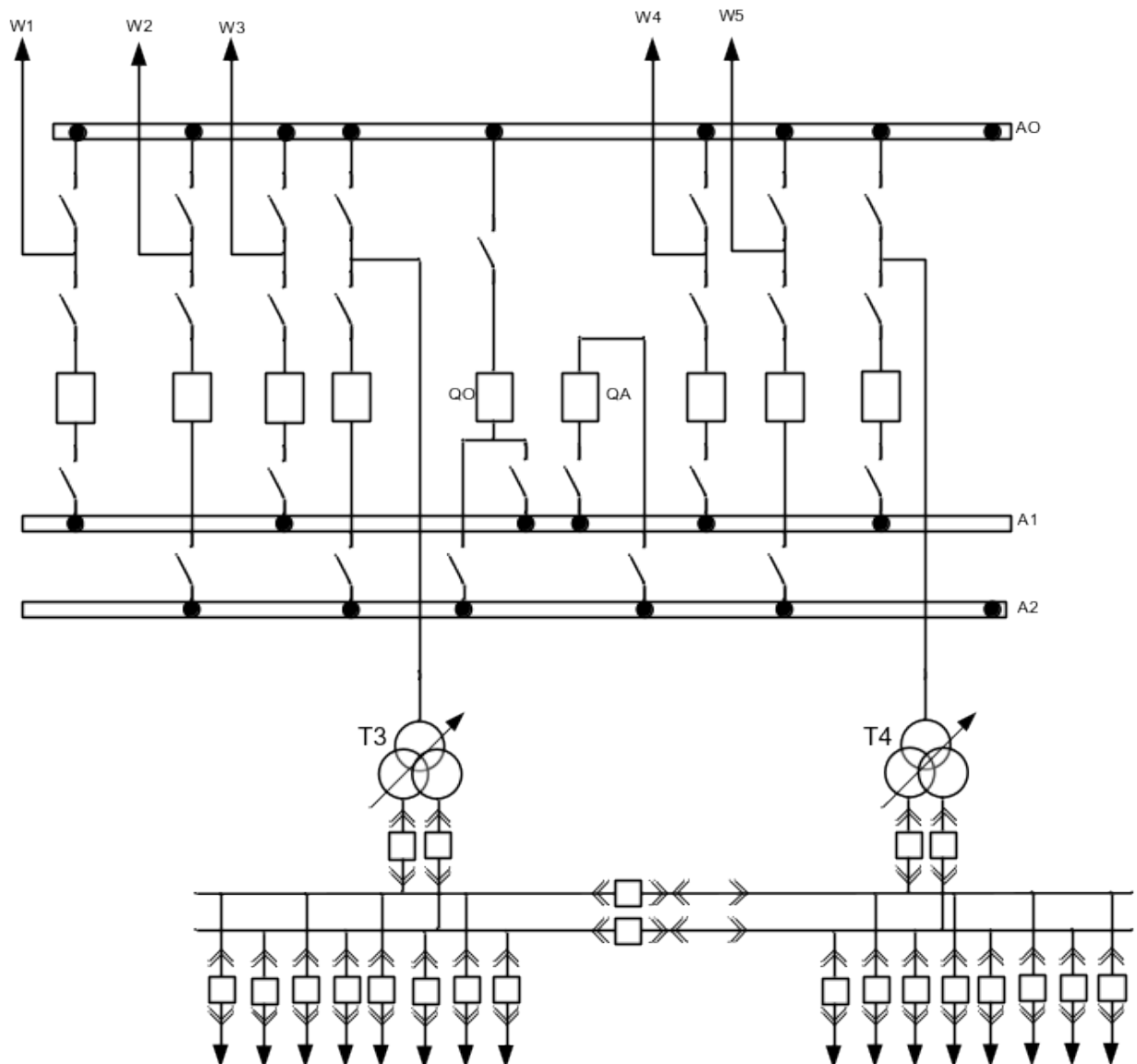


Рисунок 3.1 – Неполная принципиальная схема подстанций

Изм.	Лис	№ докум.	Подп.	Дат

## 4. Расчет токов короткого замыкания

Расчеты токов КЗ необходимы:

- для сопоставления, оценки выбора главных схем электрических станций, сетей и подстанций;
- выбора и проверки электрических аппаратов и проводников;
- проектирования и настройки устройств РЗ и автоматики;
- проектирования заземляющих устройств;
- определения влияния токов нулевой последовательности линий электропередачи на линии связи;
- анализа аварий в электроустановках и электрических системах;
- анализа устойчивости работы энергосистем.

В соответствии с заданным заданием рассчитываются токи КЗ на ПС1 на шинах ВН и НН.

### 4.1 Составление расчетной схемы

Расчетная схема электроустановки - упрощенная однолинейная схема установки с указанием всех элементов, а также их параметров, влияющие на токи КЗ и, следовательно, они должны быть учтены при выполнении операций расчета. Вид расчетной схемы будет следующим:

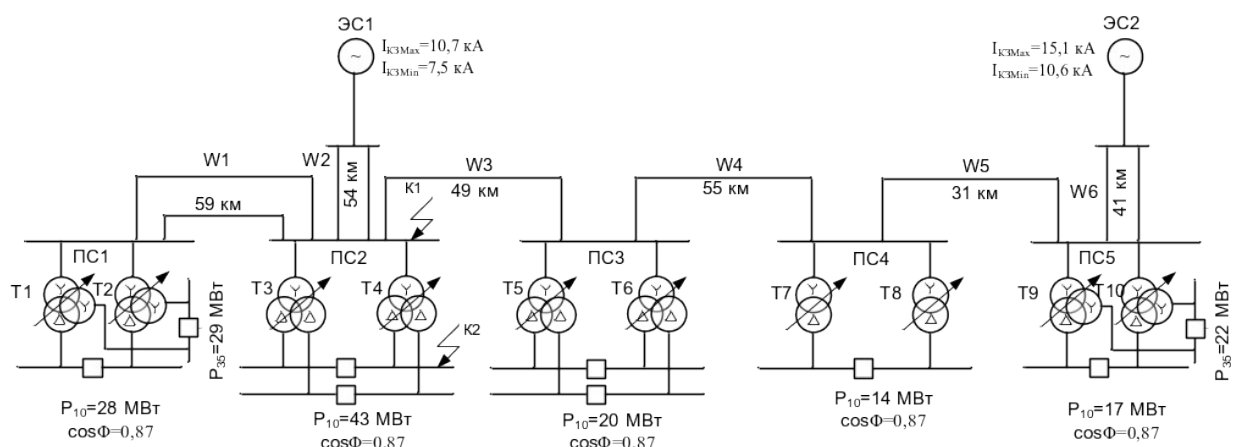


Рисунок 4.1 – Расчетная схема

Изм.	Лис	№ докум.	Подп.	Дат

Лис

#### 4.2 Составление схемы замещения цепи и определение ее параметров

Схема замещения - электрическая схема, соответствующая по исходным данным расчетной схеме, но в которой все магнитные связи заменены электрическими.

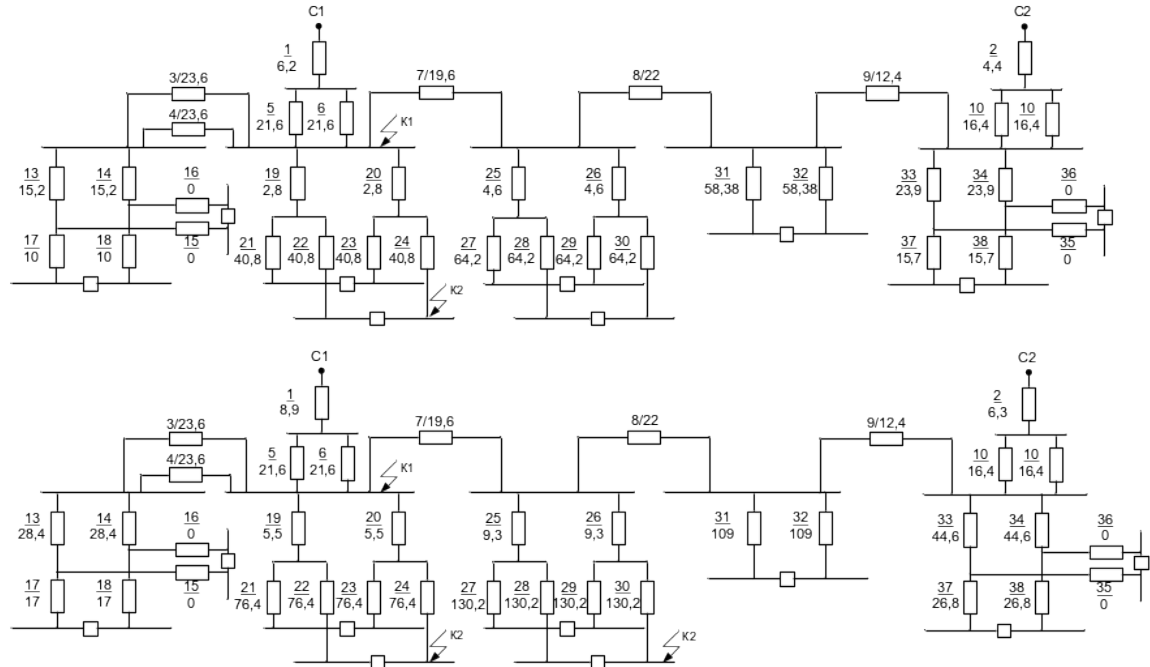


Рисунок 4.2 – Схема замещения с учетом максимального и минимального сопротивления систем

Для расчета сопротивления системы необходимо учитывать максимальный ток короткого замыкания

$$X_{l_{\max}} = \frac{U_{\text{cp}}}{\sqrt{3} \cdot I_w} = \frac{115}{\sqrt{3} \cdot 10,7} = 6,2 O_M$$

$$X_{2\text{ max}} = \frac{U_{\text{cp}}}{\sqrt{3} \cdot I_v} = \frac{115}{\sqrt{3} \cdot 15,1} = 4,4 O\Omega$$

$$X_{1\text{ min}} = \frac{U_{\text{cp}}}{\sqrt{3} \cdot I_k} = \frac{115}{\sqrt{3} \cdot 7,5} = 8,9 O_M$$

$$X_{2 \text{ min}} = \frac{U_{\text{cp}}}{\sqrt{3} \cdot I_k} = \frac{115}{\sqrt{3} \cdot 10,6} = 6,3 O\Omega$$

$$x_3 = x_4 = x_{y\partial} \cdot l = 0,4 \cdot 59 = 23,6 O_M$$

$$x_5 = x_6 = x_{\nu\partial} \cdot l = 0,4 \cdot 54 = 21,6 O M$$

$$x_7 = x_{\vartheta} \cdot l = 0,4 \cdot 49 = 19,6 \text{ m}$$

<i>Изм.</i>	<i>Лис</i>	<i>№ докум.</i>	<i>Подп.</i>	<i>Дат</i>	<i>Лис</i>
					<i>54</i>

$$x_8 = x_{y\partial} \cdot l = 0,4 \cdot 55 = 22 O_m$$

$$x_9 = x_{y\partial} \cdot l = 0,4 \cdot 31 = 12,4 O_m$$

$$x_{10} = x_{11} = x_{y\partial} \cdot l = 0,4 \cdot 41 = 16,4 O_m$$

Для ПС 1:

$$U_{K\theta \max} = 0,5(U_{K\theta H} + U_{K\theta C} - U_{K\theta H}) = 0,5(18 + 11 - 6,5) = 11,25\%$$

$$U_{K\theta \min} = 0,5(U_{K\theta C} + U_{K\theta H} - U_{K\theta H}) = 0,5(11 + 6,5 - 18) = 0,$$

$$U_{K\theta \max} = 0,5(U_{K\theta H} + U_{K\theta H} - U_{K\theta C}) = 0,5(18 + 6,5 - 11) = 6,75\%,$$

$$U_{K\theta \min} = 0,5(U_{K\theta H} + U_{K\theta C} - U_{K\theta H}) = 0,5(17 + 10 - 6,5) = 10,25\%$$

$$U_{K\theta \min} = 0,5(U_{K\theta C} + U_{K\theta H} - U_{K\theta H}) = 0,5(10 + 6,5 - 17) = 0,$$

$$U_{K\theta \min} = 0,5(U_{K\theta H} + U_{K\theta H} - U_{K\theta C}) = 0,5(17 + 6,5 - 10) = 6,75\%,$$

$$X_{TPMH} = X_{13} = X_{14} = \frac{U_{k.\min} \cdot (U_{cp.BH} \cdot (1 - \Delta U_{PH}))^2}{100 \cdot S_{HOM.TP}} = \frac{10,25 \cdot (115 \cdot (1 - 0,1602))^2}{100 \cdot 63} = 15,2 O_m$$

$$X_{TPMH} = X_{15} = X_{16} = \frac{U_{k.\min} \cdot (U_{cp.BH} \cdot (1 - \Delta U_{PH}))^2}{100 \cdot S_{HOM.TP}} = \frac{0 \cdot (115 \cdot (1 - 0,1602))^2}{100 \cdot 63} = 0 O_m$$

$$X_{TPMH} = X_{17} = X_{18} = \frac{U_{k.\min} \cdot (U_{cp.BH} \cdot (1 - \Delta U_{PH}))^2}{100 \cdot S_{HOM.TP}} = \frac{6,75 \cdot (115 \cdot (1 - 0,1602))^2}{100 \cdot 63} = 10 O_m$$

$$X_{TPMAXBH} = X_{13} = X_{14} = \frac{U_{k.\max} \cdot U_{max.BH}^2}{100 \cdot S_{HOM.TP}} = \frac{11,25 \cdot 126^2}{100 \cdot 63} = 28,4 O_m$$

$$X_{TPMAXBH} = X_{15} = X_{16} = \frac{U_{k.\max} \cdot U_{max.BH}^2}{100 \cdot S_{HOM.TP}} = \frac{0 \cdot 126^2}{100 \cdot 63} = 0 O_m$$

$$X_{TPMAXBH} = X_{17} = X_{18} = \frac{U_{k.\max} \cdot U_{max.BH}^2}{100 \cdot S_{HOM.TP}} = \frac{6,75 \cdot 126^2}{100 \cdot 63} = 17 O_m$$

Для ПС 2:

$$X_{TPMHBH} = X_{19} = X_{20} = \frac{U_{k.\min} \cdot (U_{cp.HH} \cdot (1 - \Delta U_{PH}))^2}{100 \cdot S_{HOM.TP}} = \frac{0,125 \cdot 9,59 \cdot (115 \cdot (1 - 0,1602))^2}{100 \cdot 40} = 2,8 O_m$$

$$X_{TPMHHH1} = X_{TPMHHH2} = X_{21} = X_{22} = X_{23} = X_{24} = \frac{U_{k.\min} \cdot (U_{cp.BH} \cdot (1 - \Delta U_{PH}))^2}{100 \cdot S_{HOM.TP}} = \frac{1,75 \cdot 9,59 \cdot (115 \cdot (1 - 0,1602))^2}{100 \cdot 40} = 40,8 O_m$$

$$X_{TPMAXBH} = X_{19} = X_{20} = \frac{U_{k.\max} \cdot U_{max.BH}^2}{100 \cdot S_{HOM.TP}} = \frac{0,125 \cdot 11,46 \cdot 126^2}{100 \cdot 40} = 5,5 O_m$$

$$X_{TPMAXHH1} = X_{TPMAXHH2} = X_{21} = X_{22} = X_{23} = X_{24} = \frac{U_{k.\max} \cdot U_{max.BH}^2}{100 \cdot S_{HOM.TP}} = \frac{1,75 \cdot 11,46 \cdot 126^2}{100 \cdot 40} = 76,4 O_m$$

Для ПС 3:

Изм.	Лис	№ докум.	Подп.	Дат	Лис
					57

$$X_{TPMINH} = X_{25} = X_{26} = \frac{U_{k.\min} \cdot (U_{cp.HH} \cdot (1 - \Delta U_{PPIH}))^2}{100 \cdot S_{HOM.TP}} = \frac{0,125 \cdot 9,84 \cdot (115 \cdot (1 - 0,1602))^2}{100 \cdot 25} = 4,60M$$

$$X_{TPMINHH} = X_{TPMINHH2} = X_{27} = X_{28} = X_{29} = X_{30} = \frac{U_{k.\min} \cdot (U_{cp.BH} \cdot (1 - \Delta U_{PPIH}))^2}{100 \cdot S_{HOM.TP}} = \frac{1,75 \cdot 9,84 \cdot (115 \cdot (1 - 0,1602))^2}{100 \cdot 25} = 64,20M$$

$$X_{TPMAXBH} = X_{25} = X_{26} = \frac{U_{k.\max} \cdot U_{max.BH}^2}{100 \cdot S_{HOM.TP}} = \frac{0,125 \cdot 11,72 \cdot 126^2}{100 \cdot 25} = 9,30M$$

$$X_{TPMAXHH} = X_{TPMAXHH2} = X_{27} = X_{28} = X_{29} = X_{30} = \frac{U_{k.\max} \cdot U_{max.BH}^2}{100 \cdot S_{HOM.TP}} = \frac{1,75 \cdot 11,72 \cdot 126^2}{100 \cdot 25} = 130,20M$$

Для ПС 4:

$$X_{TPMIN} = X_{31} = X_{32} = \frac{U_{k.\min} \cdot (U_{cp.BH} \cdot (1 - \Delta U_{PPIH}))^2}{100 \cdot S_{HOM.TP}} = \frac{9,8 \cdot (115 \cdot (1 - 0,1602))^2}{100 \cdot 16} = 58,38M$$

$$X_{TPMAX} = X_{31} = X_{32} = \frac{U_{k.\max} \cdot U_{max.BH}^2}{100 \cdot S_{HOM.TP}} = \frac{11,71 \cdot 126^2}{100 \cdot 16} = 109M$$

Для ПС 5:

$$U_{K6\max} = 0,5(U_{K6n} + U_{K6c} - U_{K6h}) = 0,5(18 + 11 - 6,5) = 11,25\%$$

$$U_{K6\max} = 0,5(U_{K6c} + U_{K6h} - U_{K6n}) = 0,5(11 + 6,5 - 18) = 0,$$

$$U_{K6\max} = 0,5(U_{K6n} + U_{K6h} - U_{K6c}) = 0,5(18 + 6,5 - 11) = 6,75\%,$$

$$U_{K6\min} = 0,5(U_{K6n} + U_{K6c} - U_{K6h}) = 0,5(17 + 10 - 6,5) = 10,25\%$$

$$U_{K6\min} = 0,5(U_{K6c} + U_{K6h} - U_{K6n}) = 0,5(10 + 6,5 - 17) = 0,$$

$$U_{K6\min} = 0,5(U_{K6n} + U_{K6h} - U_{K6c}) = 0,5(17 + 6,5 - 10) = 6,75\%$$

$$X_{TPMIN} = X_{33} = X_{34} = \frac{U_{k.\min} \cdot (U_{cp.BH} \cdot (1 - \Delta U_{PPIH}))^2}{100 \cdot S_{HOM.TP}} = \frac{10,25 \cdot (115 \cdot (1 - 0,159))^2}{100 \cdot 40} = 23,9M$$

$$X_{TPMINH} = X_{35} = X_{36} = \frac{U_{k.\min} \cdot (U_{cp.BH} \cdot (1 - \Delta U_{PPIH}))^2}{100 \cdot S_{HOM.TP}} = \frac{0 \cdot (115 \cdot (1 - 0,159))^2}{100 \cdot 40} = 0M$$

$$X_{TPMINH} = X_{37} = X_{38} = \frac{U_{k.\min} \cdot (U_{cp.BH} \cdot (1 - \Delta U_{PPIH}))^2}{100 \cdot S_{HOM.TP}} = \frac{6,75 \cdot (115 \cdot (1 - 0,159))^2}{100 \cdot 40} = 15,7M$$

$$X_{TPMAXBH} = X_{11} = X_{12} = \frac{U_{k.\max} \cdot U_{max.BH}^2}{100 \cdot S_{HOM.TP}} = \frac{11,25 \cdot 126^2}{100 \cdot 40} = 44,6M$$

$$X_{TPMAXBH} = X_{33} = X_{34} = \frac{U_{k.\max} \cdot U_{max.BH}^2}{100 \cdot S_{HOM.TP}} = \frac{0 \cdot 126^2}{100 \cdot 40} = 0M$$

Изм.	Лис	№ докум.	Подп.	Дат

$$X_{TPMAXBH} = X_{35} = X_{36} = \frac{U_{k,max} \cdot U_{max,BH}^2}{100 \cdot S_{HOM,TP}} = \frac{6,75 \cdot 126^2}{100 \cdot 40} = 26,8 O\mu$$

#### 4.3 Расчет тока короткого замыкания в точке К1

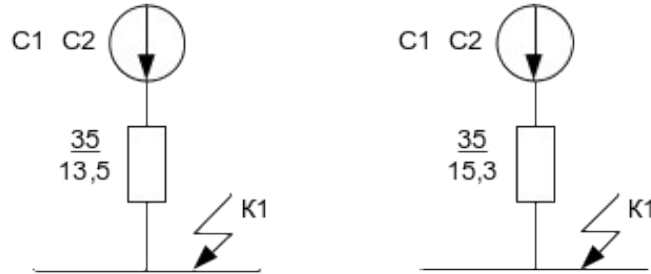


Рисунок 4.3 – Схема замещения для расчета тока КЗ в точке К1

Произведем расчет периодического тока КЗ:

$$X_{39\max} = X_1 + \frac{X_5}{2} = 6,2 + \frac{21,6}{2} = 17 O\mu$$

$$X_{39\min} = X_1 + \frac{X_5}{2} = 8,9 + \frac{21,6}{2} = 19,7 O\mu$$

$$X_{40\max} = X_2 + \frac{X_{10}}{2} + X_7 + X_8 + X_9 = 4,4 + \frac{16,4}{2} + 19,6 + 22 + 12,4 = 66,6 O\mu$$

$$X_{40\min} = X_2 + \frac{X_{10}}{2} + X_7 + X_8 + X_9 = 6,3 + \frac{16,4}{2} + 19,6 + 22 + 12,4 = 68,5 O\mu$$

$$X_{41\max} = \frac{X_{39} \cdot X_{40}}{X_{39} + X_{40}} = \frac{17 \cdot 66,6}{17 + 66,6} = 13,5 O\mu$$

$$X_{41\min} = \frac{X_{39} \cdot X_{40}}{X_{39} + X_{40}} = \frac{19,7 \cdot 68,5}{19,7 + 68,5} = 15,3 O\mu$$

$$I_{K\max BH}^3 = \frac{U_{cp}}{\sqrt{3} \cdot X_{27}} = \frac{115}{\sqrt{3} \cdot 13,5} = 4,9 kA$$

$$I_{K\min BH}^3 = \frac{U_{cp}}{\sqrt{3} \cdot X_{27}} = \frac{115}{\sqrt{3} \cdot 15,3} = 4,3 kA$$

#### 4.4 Расчет тока короткого замыкания в точке К2 (параллельная работа трансформаторов)

Изм.	Лис	№ докум.	Подп.	Дат

Лис

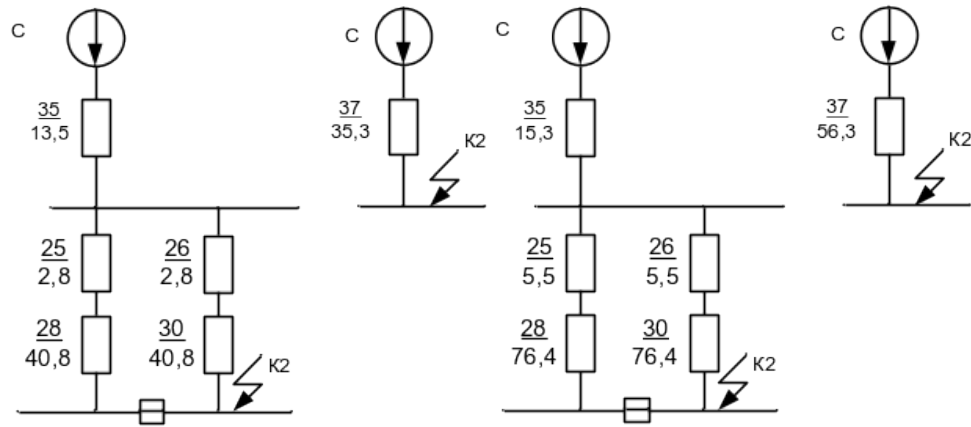


Рисунок 4.6 – Схема замещения для расчета тока КЗ в точке К2

Рассчитаем максимальный периодический ток КЗ:

$$X_{36} = \frac{X_{25} + X_{28}}{2} = \frac{2,8 + 40,8}{2} = 21,8 \Omega;$$

$$X_{37} = X_{35} + X_{36} = 13,5 + 21,8 = 35,3 \Omega;$$

$$I_{K_{\max HH}}^3 = \frac{U_{\text{ном}}}{\sqrt{3} \cdot X_{37}} \cdot \frac{U_{cp.BH} \cdot (1 - \Delta U_{PIIH})}{U_{\text{номHH}}} = \frac{110}{\sqrt{3} \cdot 35,3} \cdot \frac{115 \cdot (1 - 0,1602)}{10,5} = 16,6 \text{ kA}.$$

Рассчитаем минимальный периодический ток КЗ:

$$X_{36} = \frac{X_{25} + X_{28}}{2} = \frac{5,5 + 76,4}{2} = 40,95 \Omega;$$

$$X_{37} = X_{35} + X_{36} = 15,3 + 40,95 = 56,3 \Omega;$$

$$I_{K_{\min HH}}^3 = \frac{U_{\text{ном}} \cdot \frac{U_{\text{max}}}{U_{\text{номHH}}}}{\sqrt{3} \cdot X_{37}} = \frac{110 \cdot \frac{126}{10,5}}{\sqrt{3} \cdot 56,3} = 13,6 \text{ kA}.$$

#### 4.5 Расчет тока короткого замыкания в точке К2 (раздельная работа трансформаторов)

Рассчитаем максимальный периодический ток КЗ:

$$X_{38} = X_{25} + X_{28} = 2,8 + 40,8 = 43,6 \Omega;$$

$$X_{39} = X_{35} + X_{38} = 13,5 + 43,6 = 57,1 \Omega;$$

$$I_{K_{\max HH}}^3 = \frac{U_{\text{ном}}}{\sqrt{3} \cdot X_{39}} \cdot \frac{U_{cp.BH} \cdot (1 - \Delta U_{PIIH})}{U_{\text{номHH}}} = \frac{110}{\sqrt{3} \cdot 57,1} \cdot \frac{115 \cdot (1 - 0,1602)}{10,5} = 10,2 \text{ kA}.$$

Изм.	Лис	№ докум.	Подп.	Дат

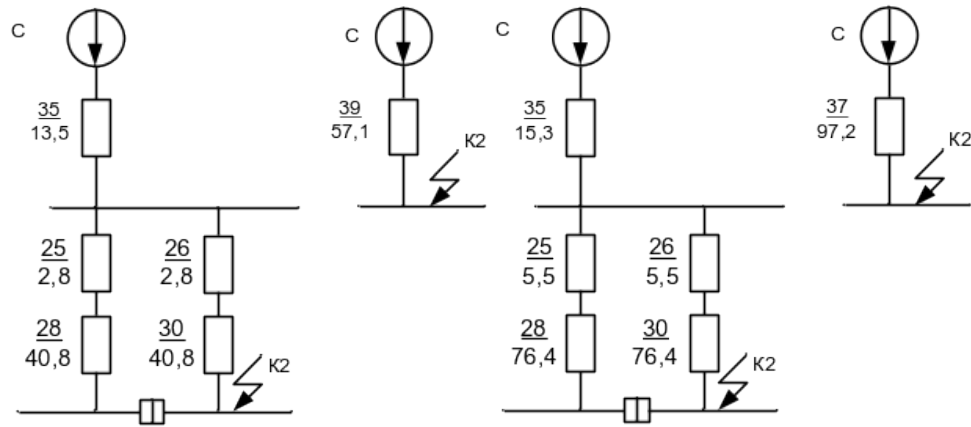


Рисунок 4.7 – Схема замещения для расчета тока КЗ в точке К2

Рассчитаем минимальный периодический ток КЗ:

$$X_{38} = X_{20} + X_{24} = 5,5 + 76,4 = 81,9 \Omega;$$

$$X_{39} = X_{35} + X_{38} = 15,3 + 81,9 = 97,2 \Omega;$$

$$I_{K \min HH}^3 = \frac{U_{\text{ном}} \cdot \frac{U_{\text{max}}}{U_{\text{номHH}}}}{\sqrt{3} \cdot X_{39}} = \frac{110 \cdot \frac{126}{10,5}}{\sqrt{3} \cdot 97,2} = 7,9 \text{ kA}.$$

Т а б л и ц а 4.1 – Сводная таблица токов КЗ

Точки КЗ	$I_{\Pi,0\max}$ , кА	$I_{\Pi,0\min}$ , кА
K1	4,9	4,3
K2 (параллельная работа трансформаторов)	16,6	13,6
K2 (раздельная работа трансформаторов)	10,2	7,9

## 5 Выбор выключателей и разъединителей

### 5.1 Выбор выключателей РУВН 110 кВ

В пределах РУ выключатели выбираются по цепи трансформатора, в нашем случае это трансформаторы ТРДН-40000/110/10.

Выключатели выбираются по следующим условиям:

$$U_{н.выкл} \geq U_{уст.},$$

$$I_{н.выкл.} \geq I_{н.цепи},$$

$$I_{н.выкл.} \geq I_{\max.цепи}.$$

$$I_{н.цепи} = 0,147 \text{ кА}$$

$$I_{\max.цепи} = 2 * I_{н.цепи} = 2 * 0,147 = 0,294 \text{ кА}$$

По полученным данным выбираем выключатель ВГТ-110-40/2500

110кВ – номинальное напряжение

40кА- ток отключения.

2500А- номинальный ток.

Т а б л и ц а 5.1 – Технические данные выключателя ВГТ-110-40/2500

Тип	U <sub>н.</sub> , кВ	I <sub>н.</sub> , кА	I <sub>отк,н,</sub> кА	β <sub>н.</sub> , %	i <sub>дин,</sub> кА	I <sub>тер,</sub> кА	t <sub>терм,</sub> сек
ВГТ-110- 40/2500	110	2,5	40	45	102	40	3

### 5.2 Выбор выключателей на РУНН 10 кВ

Номинальный и максимальный ток:

$$I_{н.цепи} = \frac{40000}{2 \cdot \sqrt{3} \cdot 10,5} = 1101 \text{ А}$$

Максимальный ток цепи

$$I_{\max.} = 1,4 * I_{н.цепи} = 1,4 * 1101 = 1541 \text{ А в цепи ввода}$$

Выбирают вакуумный выключатель серии ВВ/TEL-10-20/1600

Таблица 5.2 – Технические данные выключателя ВВ/TEL-10-20/1600

Тип	$U_h$ , кВ	$I_h$ , кА	$I_{отк,h}$ , кА	$\beta_h$ , %	$i_{дин}$ , кА	$I_{тер}$ , кА	$t_{c,b}$ , с
ВВ/TEL-10-20/1600	10	1	20	40	80	20	0,03

### 5.3 Выбор измерительных трансформаторов тока 110 кВ

Трансформаторы тока устанавливаются на каждом выключателе.  
Выбираем трансформатор тока, не встроенный в выключатель .

$$U_{ном} = 110kB;$$

Выбирают трансформатор тока типа ТГФ-110-1-600/5 У5 (*именно такой коэффициент трансформации будет выбран ниже по результатам расчетов РЗиА трансформатора*)

Таблица 5.3 – Технические данные трансформатора ТГФ-110-1-600/5 У5

Тип	$U_h$ , кВ	$I_{нII}$ , А	$I_{нI}$ , А	$I_{тер}$ , кА		$i_{дин}$ , кА	крат. обмотки	$S_h$ , ВА	
				1 с	3 с			изм. об.	заш. об.
ТГФ-110-1-600/5	110	5	600	20	3	50	20	50	30

### 5.4 Выбор измерительных трансформаторов напряжения 110 кВ

Трансформаторы напряжения выбирают только по номинальному напряжению.

$$U_{ном} = 110kB;$$

Выбрали трансформатор серии ЗНОГ-110.

Таблица 5.4 – Технические данные трансформатора ЗНОГ-110

Тип	$U_{ном}$		$S_{ном}$ , ВА в классе точности				$S_{max}$ , ВА
	ВН, кВ	НН, В	0,2	0,5	1	3	
ЗНОГ-110	$110/\sqrt{3}$	$100/\sqrt{3}$	200	400	600	1200	2000

## 5.5 Выбор измерительных трансформаторов на стороне 10 кВ

### 5.5.1 Выбор измерительных трансформаторов тока

$$I_{\max} = 1541 \text{ A}$$

Комплектные распределительные устройства серии КРУ-СЭЩ К 63 поставляются со встроенными трансформаторами тока серии ТОЛ-10. На низкую сторону трансформатора и на секционный выключатель КРУ-СЭЩ К 63 поставляется со встроенным трансформатором тока типа ТОЛ-10 рассчитанное на первичный ток  $I_{h1}=2000A$ .

Таблица 5.5 – Технические данные трансформатора ТОЛ-10

Тип	$U_h$ , кВ	$I_{hII}$ , А	$I_{hI}$ , А	I <sub>тер</sub> , кА		$i_{дин}$ , кА	крат. обмотки	S <sub>h</sub> , ВА	
				1,5 с	3 с			изм. об.	заш. об.
ТОЛ-10	10	1	2000	40	-	100	12	10	30

## 5.5.2 Выбор измерительных трансформаторов напряжения 10 кВ

Трансформаторы напряжения выбирают только по номинальному напряжению.

$$U_{\text{ном}} = 10kB;$$

Выбрали трансформатор серии ЗНОЛ-10 (трансформатор напряжения, заземленный, однофазный, с литой изоляцией).

Таблица 5.6 – Технические данные трансформатора ЗНОЛ-10

Тип	U <sub>ном</sub>		S <sub>ном</sub> , ВА в классе точности				S <sub>max</sub> , ВА
	BH, кВ	HH, В	0,2	0,5	1	3	
ЗНОЛ-10	$10 / \sqrt{3}$	$100 / \sqrt{3}$	50	75	150	300	630

## 5.6 Выберем разъединители на стороне 110 кВ.

$$U_{\text{ном}} = 110kB;$$

$$I_{\text{н.цепи}} = 0,21 \text{ кА}$$

$$I_{\max\text{.цепи}} = 1,4 * I_{\text{н.цепи}} = 1,4 * 0,21 = 0,294 \text{ кА}$$

Выбираем разъединитель наружной установки серии SGF123n-110/1600 УХЛ1.

Т а б л и ц а 5.7 – Технические данные разъединителя SGF123n-110/1600 УХЛ1/

Тип	U <sub>н</sub> , кВ	I <sub>н</sub> , кА	i <sub>дин</sub> , кА	I <sub>тер</sub> , кА	t <sub>тер</sub> , с
SGF123n-110/1600 УХЛ1	110	1.6	100	40	3

Изм.	Лис	№ докум.	Подп.	Дат		Лис
						57

## 6. Расчет защиты трансформатора

### 6.1 Газовая защита

Задача реагирует на газообразование внутри бака трансформатора, возникающее в результате разложения масла или разрушения изоляции под действием значительных повышений температур.

Газовое реле имеет сигнальный элемент, срабатывающий на сигнал при повреждениях, сопровождающихся слабым газообразованием, и отключающий элемент, срабатывающий на отключение при повреждениях внутри бака трансформатора. Отключающий элемент действует без выдержки времени на отключение блока с остановом котла и турбины.

Газовая защита реагирует также на понижение уровня масла в трансформаторе. В этом случае первым срабатывает сигнальный контакт, а затем при продолжающемся снижении уровня масла срабатывает отключающий контакт, выключая трансформатор.

Задача выполняется на реле типа РЗТ-80.

Чувствительность реле типа РЗТ-80 регулируется в пределах от 0,65 до 1,5 м/с. Время действия реле при работе лопасти колеблется от 0,5 до 0,05 с.

#### Особенности газовой защиты

По своему принципу действия газовая защита может работать не только при повреждениях и опасных ненормальных режимах, но и при появлении в кожухе трансформатора воздуха, при толчках (движении) масла, вызванных любой причиной, и механических сотрясениях, имеющих место вследствие вибрации корпуса трансформатора.

Для предупреждения неправильного отключения трансформатора отключающая цепь защиты при доливке масла переводится на сигнал.

Основными достоинствами газовой защиты являются: простота ее устройства, высокая чувствительность, малое время действия при значительных повреждениях, действие на сигнал или отключение в зависимости от размеров повреждения.

Изм.	Лис	№ докум.	Подп.	Дат		Лис
<i>t</i>	<i>a</i>					57

Газовая защита является наиболее чувствительной защитой трансформатора от повреждения его обмоток и особенно при витковых замыканиях. Все масляные трансформаторы мощностью 1000 кВА и выше поставляются вместе с газовой защитой.

Газовая защита не действует при повреждениях на выводах трансформатора, поэтому должна дополняться второй защитой от внутренних повреждений.

Для выбранного трансформатора ТРДН-40000/110/10/10, в данном проекте, для защиты бака трансформатора выставляем уставку на реле РЗТ скорость потока масла 150 см/с. Для защиты устройства РПН трансформатора выставляем уставку со скоростью потока масла 120 см/с.

Изм.	Лис	№ докум.	Подп.	Дат

Лис

57

т

а

## 6.2 Продольная дифференциальная токовая защита трансформатора связи

Выбор уставок производится, исходя из следующих условий:

Зашита должна надежно сработать при к.з. в зоне действия этой защиты.

При этом коэффициент чувствительности должен быть около 2;

Зашита не должна сработать при включении трансформатора на холостой «толчком», а также при восстановлении напряжения на нем после отключения КЗ в сети ,т.е. защита должна быть отстроена от броска намагничивающего тока трансформатора;

Зашита не должна срабатывать при внешних к.з. ,т.е. защита должна быть отстроена от токов небаланса, появившихся в реле при внешних к.з.

Зашита осуществляется с помощью реле типа ДЗТ-11 характеризующаяся наличием одной тормозной обмотки в НТТ реле, что дает возможность обеспечить торможение от тока в одном комплекте трансформаторов тока. Использование тормозной обмотки дает возможность не отстраивать минимальный ток срабатывания защиты от токов небаланса при таких внешних повреждениях, когда имеется торможение, поскольку недействие защиты в этих режимах обеспечивается торможением. Это обуславливает большую чувствительность защиты.

### 6.2.1 Определяются первичные токи для всех сторон защищаемого трансформатора

$$I_{\text{ном}} = \frac{S_{\text{ном}}}{\sqrt{3} * U_{\text{ном}}} \quad , \quad (6.1)$$

где,  $S_{\text{ном}}$ -номинальная мощность трансформатора,

$U_{\text{ном}}$ -номинальное напряжение обмотки

$$I_{\text{номВН}} = \frac{40000}{\sqrt{3} * 115} = 201A \quad ,$$

$$I_{\text{номНН}} = \frac{40000}{2 \cdot \sqrt{3} * 10,5} = 1101A \quad ,$$

Изм.	Лис	№ докум.	Подп.	Дат

Лис

57

т

а

6.2.2 Определяются вторичные токи в плечах защиты исходя из коэффициентов трансформации и коэффициентов схемы

$$K_I = \frac{I_{\text{hom}} * K_{\text{cx}}}{5}, \quad (6.2)$$

$$K_{TBH} = \frac{201 * \sqrt{3}}{5} = \frac{347,7}{5}, \quad K_{TBH} = 600/5$$

$$K_{THH} = \frac{1101 * 1}{5} = \frac{1101}{5}, \quad K_{TBH} = 2000/5$$

$$I_{\text{hom},6.} = \frac{I_{\text{hom}} * K_{\text{cx}}}{K_I}, \quad (6.3)$$

$$I_{\text{hom},6.} = \frac{201 * \sqrt{3}}{600/5} = 2,9A,$$

$$I_{\text{hom},n.} = \frac{1101 * 1}{2000/5} = 2,8A,$$

6.2.3 Определяется минимальный ток срабатывания защиты

$$I_{c.z.} = 1,5 * I_{\text{hom}}, \quad (6.4)$$

$$I_{c.z.} = 1,5 * 201 = 301,5A,$$

6.2.4 Определяется ток срабатывания реле на основной стороне

$$I_{c.p.} = \frac{I_{c.z.} * K_{\text{cx}}}{K_I}, \quad (6.5)$$

$$I_{c.p.} = \frac{301,5 * \sqrt{3}}{600/5} = 4,4A,$$

6.2.5 Определяется число витков рабочей обмотки НТТ реле для основной стороны ВН

$$W_{BH} = \frac{F}{I_{c.p.}}, \quad (6.6)$$

где, F-ближайшее меньшее число витков W основной(принимается 100)

$$W_{BH} = \frac{100}{4,4} = 22,7,$$

Принимается 23 витков

6.2.6 Уточняется значение тока срабатывания реле

Изм.	Лис	№ докум.	Подп.	Дат

$$I_{cp} = \frac{F}{W_{BH}}, \quad (6.7)$$

$$I_{cp} = \frac{100}{23} = 4,4A$$

### 6.2.7 Уточняется значение тока срабатывания защиты

$$I_{c.z.} = \frac{I_{cp} * K_l}{K_{cx}}, \quad (6.8)$$

$$I_{c.z.} = \frac{4,4 * 600 / 5}{\sqrt{3}} = 305,2A,$$

### 6.2.8 Определяется число витков рабочей обмотки НТТ реле на стороне НН

$$W_{HH} = W_{HH} \frac{I_{nom,sm.}}{I_{sm,HH}}, \quad (6.9)$$

$$W_{HH} = 23 * \frac{2,9}{2,8} = 23,8,$$

Принимаем 24 витка

### 6.2.9 Определяются токи небаланса на стороне НН

$$I'_{n\bar{o}} = K_a * K_{odn} * E * I_{K1}^{(3)}, \quad (6.10)$$

$$I'_{n\bar{o}} = 1 * 1 * 0,1 * 16600 \cdot \frac{10,5}{115} = 151,6A,$$

$$I''_{n\bar{o}} = \frac{\Delta U}{100} * I_{K1}^{(3)} \quad (6.11)$$

$$I''_{n\bar{o}} = \frac{15,9}{100} * 16600 \cdot \frac{10,5}{115} = 241A,$$

$$I'''_{n\bar{o}} = \left| \frac{W_{pacu} - W_{prin}}{W_{pacu}} \right| * I_{K1}^{(3)} \quad (6.12)$$

$$I'''_{n\bar{o}} = \left| \frac{23,8 - 24}{23,8} \right| * 16600 \cdot \frac{10,5}{115} = 12,7A,$$

$$\sum I_{n\bar{o}} = I'_{n\bar{o}} + I''_{n\bar{o}} + I'''_{n\bar{o}}, \quad (6.13)$$

$$\sum I_{n\bar{o}} = 151,6 + 241 + 12,7 = 405,3A,$$

где,  $I'_{n\bar{o}}$  -составляющая, обусловленная погрешностью трансформаторов тока;

Изм.	Лис	№ докум.	Подп.	Дат

Лис

$I_{no}''$  - составляющая, обусловленная регулированием напряжения защищаемого трансформатора;

$I_{no}'''$  - составляющая, обусловленная неточностью установки на насыщающемся трансформаторе реле расчетных чисел витков,

6.2.10 Выбирается необходимое число витков тормозной обмотки НТТ реле

Рассматривается внешнее к.з. между тремя фазами в максимальном режиме работы системы

$$W_{TCH} = \frac{K_{omc} * I_6 * W_{CH,расч}}{I_{mopm} * \operatorname{tg}\alpha}, \quad (6.14)$$

где,  $\operatorname{tg}\alpha$ -тангенс угла наклона тормозной характеристики, принимается равным 0,8 из заводской характеристики реле

$K_{omc}=1,5$ - коэффициент отстройки

$$W_{THH} = \frac{1,5 * 405,3 * 23,8}{16600 \cdot \frac{10,5}{115} * 0,8} = 11,94$$

Принимается 13 витков

6.2.11 Проверка защиты на чувствительность

$$K_u = \frac{0,87 * I^{(3)}}{I_{c.z.}} \geq 2,$$

$$K_u = \frac{0,87 * 7900 \cdot \frac{10,5}{115}}{305,2} = 2,06 \geq 2$$

Изм.	Лис	№ докум.	Подп.	Дат

Лис

## 6.3 Максимальная токовая защита с пуском по напряжению

Максимальные токовые защиты предназначены для резервирования основных защит трансформатора и для защиты шин пониженного напряжения.

### 6.3.1 Расчет максимальной токовой защиты установленной на стороне 110 кВ

6.3.1.1 Ток срабатывания защиты определяется по условию отстройки от номинального тока трансформатора

$$I_{c.z.} = \frac{K_{OTC}}{K_B} * I_{HOM}, \quad (6.15)$$

где,  $I_{nomHH} = \frac{40000}{\sqrt{3} * 115} = 201A,$

$$I_{c.z.} = \frac{1,2}{0,8} * 201 = 316,7A$$

#### 6.3.1.2 Проверка чувствительности защиты

При двухфазном к.з. на шинах 10,5 кВ и раздельной работе трансформаторов

$$K_u = \frac{0,87 * 7900}{316,7} \cdot \frac{10,5}{115} = 1,98 > 1,5$$

#### 6.3.1.3 Определение тока срабатывания реле

$$I_{c.p.} = \frac{I_{c.z.} * K_{cx}}{K_I},$$

$$I_{c.p.} = \frac{316,7 * \sqrt{3}}{600/5} = 4,6A$$

Применяется к установке реле РТ-40/6.

### 6.3.2 Расчет максимальной токовой защиты с комбинированным пуском по напряжению, установленной на стороне 10,5 кВ

#### 6.3.2.1 Определяется ток срабатывания защиты

$$I_{c.z.} = \frac{K_{OTC}}{K_B} * I_{pas.max}, \quad (6.16)$$

$$I_{nomHH} = \frac{40000}{2 \cdot \sqrt{3} * 10,5} = 1101A,$$

Изм.	Лис	№ докум.	Подп.	Дат
<i>t</i>			<i>a</i>	

Лис

$$I_{pa\delta.\max} = \frac{S_{нар.HH}}{\sqrt{3} * U_{HH}},$$

$$I_{pa\delta.\max} = \frac{\frac{43000}{0,87}}{2 \cdot \sqrt{3} * 10,5} = 1360A,$$

$$I_{c.z.} = \frac{1,2}{0,8} * 1360 = 2040A$$

### 6.3.2.2 Проверка чувствительности по току

$$K_u = \frac{0,87 * 7900}{2040} = 3,37 \geq 1,5$$

### 6.3.2.3 Определяется ток срабатывания реле

$$I_{c.p.} = \frac{2040 * 1}{2000 / 5} = 5,1A$$

Применяется реле РТ-40/6

### 6.3.2.4 Определяется первичное напряжение срабатывания защиты для минимального реле напряжения

$$U_{c.z.} \leq \frac{U_{min}}{K_{omc} * K_B}, \quad (6.17)$$

$$U_{c.z.} \leq \frac{0,85 * 10,5}{1,2 * 1,2} = 6198B,$$

По условию отстройки от напряжения самозапуска при включении АПВ и АВР заторможенных двигателей нагрузки

$$U_{c.z.} \leq \frac{U_{зан}}{K_{omc}},$$

$$U_{c.z.} \leq \frac{0,7 * 10,5}{1,2} = 6125B,$$

Применяется  $U_{c.z.} = 6125 B$ ,

### 6.3.2.5 Определяется напряжение срабатывания реле

$$U_{cp} = \frac{U_{c.z.}}{K_V}, \quad (6.18)$$

$$U_{cp} = \frac{6125}{10000 / 100} = 61,25B,$$

### 6.3.3.6 Выбор выдержек времени защит производится по ступенчатому принципу

Изм.	Лис	№ докум.	Подп.	Дат		Лис
						57

$$t_{c.z.MT3-10} = t_{c.z.CB-10} + \Delta t = 0,8 + 0,5 = 1,3c(PB - 128),$$

$$t_{c.z.MT3-110} = t_{c.z.MT3-10} + \Delta t = 1,3 + 0,3 = 1,6c(PB - 01),$$

## 6.4 Максимальная токовая защита от перегрузки

6.4.1 Определяется ток срабатывания защиты от перегрузки на стороне

ВН

$$I_{c.z.} = \frac{K_{OTC}}{K_B} * I_{nom},$$

где,  $K_{OTC} = 1,05$  - коэффициент отстройки;

$K_B = 0,8$  - коэффициент возврата реле тока;

$I_{nom}$  - номинальный ток обмотки трансформатора с учетом регулирования напряжения,

$$I_{c.z.} = \frac{1,05}{0,8} * \frac{40000}{\sqrt{3} * 115} = 264A,$$

6.4.2 Время срабатывания защиты  $t_{c.z.} \approx 9c$

6.4.3 Определяется ток срабатывания защиты от перегрузки на стороне

НН

$$I_{c.z.} = \frac{1,05}{0,8} * \frac{40000}{2 * \sqrt{3} * 10,5} = 1445A,$$

6.4.4 Время срабатывания защиты  $t_{c.z.} \approx 6c$

Изм.	Лис	№ докум.	Подп.	Дат

## 7. Схема подключения реле ДЗТ-11

Рис. 7.1 Схема подключения реле ДЗТ-11

## Заключение

В данной курсовой работе произведен расчет релейной защиты трансформатора, объяснен принцип действия защиты. Приведена методика расчета уставок данного вида защиты. Сделан расчет уставок для конкретной задачи. Указаны особенности и недостатки этой защиты. Рассмотрены основные органы данных защит, требования.

Изм.	Лис	№ докум.	Подп.	Дат

Лис

57

## Список литературы

1. Шабад М.А. Расчеты релейной защиты и автоматики распределительных сетей. -Л.: Энергоатомиздат, 1985, -296с.
2. Правила устройства электроустановок. /Энергосервис Москва -6-е изд., перераб. и доп., 2006 -648с.
3. Чернобровов Н.В., Семенов В.А., – Релейная защита энергетических систем: Учебное пособие для техникумов. – М.:Энергоатомиздат, 2007. – 800с.
4. Руководящие указания по релейной защите. Выпуск 13А. Релейная защита понижающих трансформаторов и автотрансформаторов 100-500 кВ: Схемы. – М.: Энергоатомидат, 1985
5. Рожкова Л.Д., Козулин В.С., - Электрооборудование станций и подстанций. – М.:Энергоатомиздат, 1987. – 648 с.
6. Королёв Е.П., Либерзон Э.М. Расчёты допустимых нагрузок в токовых цепях релейной защиты. – М.: Энергия, 1980.

Изм.	Лис	№ докум.	Подп.	Дат

т

а

Лис

57